

## تعیین مدت زمان بهینه پالس پروتونی برای راه انداز احتراق سریع در همجوشی محصورشده لختی

عباس قاسمی زاد و محمد جعفر طباطبائی

گروه فیزیک، دانشکده علوم پایه، دانشگاه گیلان

(دريافت مقاله: ۸۴/۶/۲؛ دريافت نسخه نهايی: ۸۶/۱/۱۵)

### چکیده

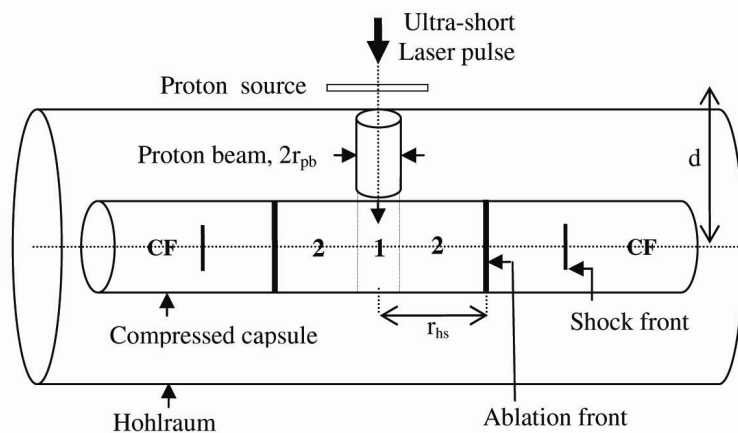
دو مدل تحلیلی نسبتاً ساده که برای بررسی دینامیک احتراق سریع مورد استفاده قرار می‌گیرد عبارتند از: مدل فروصوتی و مدل فوق صوتی. بر طبق مدل فروصوتی، که گرم شدن یک سوخت از پیش فشرده شده با چگالی  $\rho_0$  با تولید موج گرمایی فروصوت توسط باریکه‌ای ذرهای صورت می‌گیرد، انرژی و شدت باریکه‌ای پروتونی لازم برای ایجاد احتراق، با افزایش برد پروتونی به ترتیب افزایش و کاهش می‌یابد. در حالی که بر طبق مدل فوق صوتی، برای برددهای کمتر از  $25\text{ g/cm}^2$  انرژی و شدت مذکور با افزایش برد پروتونی به ترتیب ثابت مانده و کاهش یافته و برای برددهای بیشتر از این مقدار، هر دو افزایش می‌یابند. با توجه به واستگی ضمنی مدت زمان پالس پروتونی به برد پروتونی، این نتایج، تعیین مدت زمان بهینه پالس پروتونی برای راه انداز احتراق سریع را امکان پذیر نموده است، که این مقدار بهینه را برابر  $\rho_0 = 14 \times 10^3 \text{ g/m}^3$  به دست آورده‌ایم.

**واژه‌های کلیدی:** احتراق سریع، همجوشی لختی، پالس پروتونی، انرژی احتراق

### ۱. مقدمه

اساس این ایده می‌توان با انرژی ورودی کمی، انرژی خروجی زیادی کسب کرده و به بهره انرژی زیادی دست یافت. به تازگی به پیروی از گواه تحریسی تولید باریکه‌ای از پروتونهای چند مگا الکترون ولتی در اثر برهمکنش باریکه لیزری فوق العاده پر شدت با هدفهای جامد، رت<sup>۱</sup> و دیگران چنین باریکه پروتونی را به عنوان راه انداز احتراق سریع پیشنهاد نموده‌اند [۲]. مدت زمان پالس پروتونی لازم به این منظور که باریکه پروتونی، انرژی و شدت لازم برای احتراق را دارا باشد یکی از پارامترهای فیزیکی قابل بحث در مورد این پالس است. رت و دیگران، احتراق سریع را بر اساس شبیه سازیهای دو بعدی و به وسیله کد DUEAD بررسی کرده و مدت زمان بهینه پالس پروتونی را برابر  $\rho_0 = 14 \times 10^3 \text{ g/m}^3$  به دست آورده‌اند [۳]. با توجه به اینکه در احتراق سریع، بسته به

مدتی است که ایده‌ای به نام ایده احتراق سریع در همجوشی محصورشده لختی مطرح شده است [۱] بر اساس این ایده، ابتدا سوخت دوتربیوم - تریتیوم (D-T) توسط باریکه لیزری فوق العاده پر شدت تا چگالی زیاد  $\rho_0$  فشرده می‌شود، سپس این سوخت فشرده شده، تحت برخورد باریکه‌ای ذرهای قرار گرفته و بخشی از آن مستقیماً توسط باریکه گرم می‌شود. به این ترتیب یک ناحیه داغ مرکزی (با چگالی  $\rho_{hs}$ ) احاطه شده توسط سوخت سرد، ایجاد شده و تحت یک سری شرایط فیزیکی مشخص، احتراق و در نتیجه سوختن صورت گرفته و متعاقب آن انرژی همجوشی آزاد می‌شود. شایان ذکر است که در ایده احتراق سریع، تنها مسئولیت باریکه لیزر فرودی، فشرده‌گی سوخت و یا به عبارتی انفجار داخلی است و انرژی لازم برای احتراق را باریکه ذرهای مهیا می‌کند. بنابراین بر



شکل ۱. نمایش طرح وار ایده احتراف سریع بنابر مدل فرو صوتی. CF روی شکل بیانگر سوخت سرد بوده و نواحی ۱ و ۲ روی هم ناحیه داغ را تشکیل می‌دهند.

این پروتونها در اثر یک سری مکانیزم‌های فیزیکی مشخص که فقط در طی چند ثانیه عمل می‌کنند، تولید می‌شوند [۶]. می‌توان فرض نمود که یک چشممه پروتونی در نزدیکی سطح هولرام واقع در فاصله  $d$  از مرکز سوخت فشرده شده قرار دارد و پروتونهای سریع گسیل می‌کند. در نتیجه، این امر منجر به تولید پالس پروتونی در فاصله چند میلیمتری از چشممه می‌گردد. باریکه پروتونی ایجاد شده توسط سه پارامتر مهم شعاع محل کانونی  $r_{pb}$ ، شدت  $S_{pb}$ ، و برد پروتونی  $R$  توصیف می‌شود. این باریکه در سوخت متراکم شده وارد گردیده و مستقیماً یک حجم استوانه‌ای به شعاع  $r_{pb}$  از آن را گرم می‌کند. برای سهولت مطابق شیوه سازیهای مراجع [۷ و ۸] فرض می‌کنیم که رابطه زیر بین  $R$ ،  $r_{pb}$  و  $\rho_0$  برقرار باشد:

$$r_{pb} = \frac{R}{\rho_0}. \quad (1)$$

در مورد گرم شدن بخشی از سوخت فشرده شده توسط باریکه پروتونی، می‌توانیم دو وضعیت را در نظر بگیریم. یکی اینکه شدت باریکه پروتونی به قدری کم باشد که گرم شدن سوخت با سرعتی کمتر از سرعت صوت و یا به عبارتی به صورت فروصوتی پیش رود و دیگری اینکه شدت باریکه پروتونی به قدری زیاد باشد که گرم شدن سوخت به صورت فوق صوتی پیش رود. در اینجا هر یک از این دو وضعیت را جداگانه مورد بررسی قرار می‌دهیم.

اینکه شدت باریکه ذرهای از حد معینی کمتر و یا بیشتر باشد، چگالی  $\rho_{hs}$  از چگالی  $\rho_0$  اندکی کمتر و یا برابر با آن است، بنابراین می‌توان احتراف سریع را بر اساس مدل تک چگالی بررسی نمود. در این مقاله، محاسبات مدل احتراف را بر اساس محاسبات بهرهٔ حدی مدل تک چگالی کیدر<sup>۱</sup> انجام داده [۴]، و مدت زمان مذکور را به دست خواهیم آورد.

## ۲. فیزیک ایده احتراف سریع

برای بررسی فیزیک ایده احتراف سریع، برای سهولت و به منظور ایجاد تقارن، ساچمه‌های کوچک حاوی سوخت هم‌جوشی، که دارای شعاعی کمتر از ۴ mm می‌باشند [۵]، را استوانه‌ای شکل فرض می‌کنیم. مطابق شکل ۱ یک کپسول سوخت D-T را در نظر می‌گیریم، به طوری که این کپسول توسط یک هولرام محصور شده باشد. فرض می‌کنیم در ابتدا پالس لیزر فوق العاده پرشدتی بر سطح هولرام بتابد. یکی از پیامدهای بسیار مهم برخورد باریکه لیزر به این سطح، تولید اشعه ایکس در داخل هولرام است. اشعه ایکس تولید شده باعث گرم شدن سطح کپسول سوخت شده و سوخت D-T تا چگالی بسیار زیاد  $\rho$  فشرده می‌شود.

پیامد دیگر برخورد باریکه لیزر به سطح هولرام، تولید پروتونهای سریع در نزدیکی سطح آن است. با توجه به اینکه

<sup>۱</sup>Kidder

سرعت انبساط جبهه قطع با سرعت شاره تعقیب کننده موج ضربه‌ای برابر بوده و به صورت زیر قابل محاسبه است [۹ و ۱۰]:

$$v_{af} = \left( \frac{3p_a}{4\rho_0} \right)^{\frac{1}{2}} \quad (4)$$

که در آن  $p_a$  فشار قطع می‌باشد و عبارت است از:

$$p_a = 1/\gamma p_{hs}, \quad p_{hs} = \frac{2}{3}\rho_{hs}\epsilon_{hs} \quad (5)$$

در این رابطه  $\epsilon_{hs}$  و  $p_{hs}$  به ترتیب انرژی داخلی ویژه و فشار سوخت گرم است.  $\epsilon_{hs}$  با استفاده از رابطه زیر قابل محاسبه است [۹]:

$$\epsilon_{hs} = \frac{2kT_{hs}}{A_{DT}m_p} \quad (6)$$

که در آن  $k$  ثابت بولتزمن،  $A_{DT}$  عدد جرمی سوخت D-T در  $m_p$  (A<sub>DT</sub>) و  $m_p$  جرم پروتون است. با استفاده از دو رابطه (۴) و (۵) می‌توانیم رابطه زیر را برای سرعت انبساط جبهه قطع بنویسیم:

$$v_{af} \approx 0.77\epsilon_{hs}^{\frac{1}{2}} \left( \frac{\rho_{hs}}{\rho_0} \right)^{\frac{1}{2}}. \quad (7)$$

در طی فرآیند گرمایش، مقداری از انرژی ناحیه داغ به علت پدیده تابش ترمزی تلف می‌شود. چگالی توان تلف شده ناشی از این پدیده را می‌توانیم از رابطه زیر به دست آوریم [۱۱]:

$$P_{br} = A_{br}\rho_{hs}^{\frac{1}{2}}\epsilon_{hs}^{\frac{1}{2}} \text{ erg.s}^{-1}.\text{cm}^{-3}, \quad A_{br} = 9 \times 10^{15} \quad (8)$$

همچنین با توجه به اینکه در ناحیه داغ، واکنشهای همجوشی رخداده و ذرات آلفا و نوترون تولید می‌شود، چگالی توان همجوشی مربوط به ذرات آلفای تولید شده عبارت خواهد بود از:

$$P_\alpha = A_\alpha \langle \sigma v \rangle_{dt} \rho_{hs}^{\frac{1}{2}} \text{ erg.s}^{-1}.\text{cm}^{-3}, \quad A_\alpha = 8 \times 10^{40} \quad (9)$$

یک شرط اساسی به منظور دستیابی به احتراق این است که چگالی توان  $P_\alpha$  واگذار شده به سوخت توسط ذرات آلفا در پایان پالس باریکه، قادر باشد که دمای  $T_{hs}$  سوخت را حفظ کند. بنابراین در زمان احتراق لازم است که شرط زیر را داشته باشیم [۱۲]:

### ۳. مدل‌های تحلیلی برای بررسی دینامیک احتراق سریع

#### ۳.۱. مدل فروصوتی

مطابق شکل ۱ در نظر می‌گیریم که یک سوخت D-T در اثر انفجار داخلی تا چگالی بسیار زیاد  $\rho$  از پیش فشرده شده و یک باریکه پروتونی، مستقیماً یک حجم استوانه‌ای به شعاع  $r_{pb}$  شامل سوختی به جرم  $m_{hs}$  از آن را گرم کرده است (ناحیه ۱ در شکل). بدین ترتیب برای جرم  $m_{hs}$  می‌توان نوشت:

$$m_{hs} = \pi r_{pb}^2 \rho. \quad (2)$$

البته فرض کردہ‌ایم که ارتفاع ناحیه ۱،  $z$ ، با شعاع باریکه پروتونی برابر است یعنی داریم:

$$z = r_{pb}. \quad (3)$$

اکنون فرض می‌کنیم که گرم شدن سوخت به صورت فروصوتی پیش رود. در این صورت ضمن شارش گرما از ناحیه ۱ به ناحیه پیرامونش از طریق رسانش، تعدادی ذرات از آن ناحیه به تدریج کنده می‌شود. شارش گرما از طریق رسانش، که باعث افزایش حجم ناحیه داغ می‌شود را می‌توان به عنوان موج گرمایش می‌دانست. همانگ با موج گرمایش، یک موج ضربه‌ای پیشاپیش آن تولید می‌شود که این موج باعث پدیده جهش چگالی می‌گردد. با توجه به کنده شدن تدریجی ذرات از ناحیه ۱ شکل ۱ (که باعث کاهش چگالی آن می‌شود) و وجود موج ضربه‌ای، در مکان معینی چگالی سوخت بیشینه مقدار خود را خواهد داشت که به این مکان، جبهه قطع  $v_{af}$  منبسط شده و حجم ناحیه داغ بیشتر و بیشتر می‌شود. فشار در این جبهه، بسیار زیاد است و به آن فشار قطع اطلاق می‌گردد. در هر لحظه، جرم موجود بین جبهه قطع و ناحیه ۱ توسط فشار قطع، یکی می‌شود که با ناحیه ۲ در شکل ۱ مشخص شده است. جرم موجود در نواحی ۱ و ۲ روی هم ناحیه‌ای داغ با چگالی میانگین لحظه‌ای  $\rho_{hs}$  و دمای لحظه‌ای  $T_{hs}$  را تشکیل می‌دهد، به طوری که این ناحیه توسط سوخت سرد با چگالی  $\rho$  احاطه شده است.

دست می‌آید که نتیجه آن عبارت خواهد بود از:

$$\left( A_a \langle \sigma v \rangle_{dt} - A_{br} \frac{1}{\epsilon_{hs}} \right) \rho_{hs} (m_{hs} - m_{o,hs}) \geq p_{hs} v_{af} 4\pi r_{hs}^2 \quad (14)$$

که در آن  $r_{hs}$  و  $m_{hs}$  به ترتیب شعاع و جرم کل ناحیه داغ است به طوری که برای  $m_{hs}$  می‌توانیم رابطه زیر را بنویسیم:

$$m_{hs} = \pi r_{hs}^2 \rho_{hs} \quad (15)$$

در اینجا فرض کردہ‌ایم که ارتفاع ناحیه داغ عبارت است از:

$$z = r_{hs} \quad (16)$$

که این فرض، فرضی معقول است چرا که با توجه به افزایش حجم ناحیه گرم ناشی از انبساط جبهه قطع داریم:

$$z - z_o \approx r_{hs} - r_{pb}. \quad (17)$$

این رابطه به همراه رابطه (۳)، رابطه (۱۶) را نتیجه می‌دهد.

در به دست آوردن معادله (۱۴) برای سهولت فرض کردہ‌ایم که تمام سطح احاطه کننده ناحیه داغ با سرعت  $v_{af}$  انبساط می‌یابد، در حالی که باید توجه داشت که در واقع قسمتی از این سطح که از مرتبه  $(r_{hs} - r_{pb}) \pi$  بوده و در تماس با فضای

ازاد است با سرعتی از مرتبه  $\frac{1}{\epsilon_{hs}}$  انبساط می‌یابد.

با توجه به این موضوع که موج گرمایی توسط رسانش گرمایی راه اندازی می‌شود، بنابراین با در نظر گرفتن اینکه انتشار موج گرمایی توسط یک مکانیزم خود میزان کننده طول

$$\text{ویرژه گرادیان دمای } I_T = \frac{\epsilon_{hs}}{|\nabla \epsilon_{hs}|}, \text{ کترل می‌شود [۱۰].}$$

می‌توانیم رابطه بین دمای لحظه‌ای ناحیه داغ و سرعت لحظه‌ای انبساط جبهه قطع را پیدا کنیم. مطابق این مکانیزم، طول ویرژه  $I_T$  در هر لحظه باید از مرتبه شعاع لحظه‌ای  $r_{hs}$  ناحیه داغ باشد، به طوری که داریم:

$$I_T = \frac{\frac{1}{\epsilon_{hs}}}{p_{hs} v_{af}} \approx \left( \frac{1}{r_{hs}} + \frac{1}{z} \right)^{-1} \approx \frac{r_{hs}}{2}. \quad (18)$$

در این رابطه  $\epsilon_{hs}(t)$  انرژی داخلی ویرژه لحظه‌ای و  $v_{af}(t) = \frac{dr}{dt}$  به ترتیب شعاع لحظه‌ای ناحیه داغ و سرعت لحظه‌ای انبساط جبهه قطع می‌باشد.

$$P_{pb} \equiv \int_{V_{hs}} P_\alpha dV, \quad (10)$$

که  $P_{pb}$  توان باریکه پروتونی لازم برای احتراق می‌باشد و انتگرال روی کل حجم ناحیه داغ گرفته می‌شود.

شرط دیگر دستیابی به احتراق این است که چگالی توان  $P_\alpha$  بتواند حداقل، انرژی از دست رفتۀ ناحیه داغ را جبران نماید، که در این صورت باید داشته باشیم [۱۲ و ۱۳]:

$$P_\alpha \geq P_{br} + p_{hs} \nabla \cdot \mathbf{v}_{af} + \nabla \cdot \mathbf{q}_T. \quad (11)$$

در این رابطه  $p_{hs} \nabla \cdot \mathbf{v}_{af}$  چگالی توان تلف شده ناشی از انبساط جبهه قطع،  $\mathbf{q}_T$  شار رسانش گرمایی و  $\nabla \cdot \mathbf{q}_T$  چگالی توان تلف شده ناشی از شار رسانش گرمایی است. برای  $\mathbf{q}_T$  می‌توانیم رابطه زیر را بنویسیم:

$$\mathbf{q}_T = \chi \epsilon_{hs}^{\frac{5}{2}} \nabla \epsilon_{hs}, \quad \chi = 3/82 \times 10^{-34} \text{ g.s}^{-6} \text{ cm}^{-5} \quad (12)$$

البته این در صورتی است که لگاریتم کولمب را به صورت  $\ln \Lambda = 5$  در نظر بگیریم.

با توجه به اینکه ناحیه داغ از دو ناحیه ۱ و ۲ تشکیل شده است، می‌توانیم از رابطه (۱۱) به طور جداگانه برای جرم  $m_{o,hs}$  و جرم موجود در ناحیه ۲ انتگرال بگیریم. برای جرم  $m_{o,hs}$  فرض می‌کنیم که انرژی از دست رفتۀ ناشی از انبساط، عمدتاً به واسطه سطح آزاد  $\pi r_{pb}^2$  رخ دهد و در دیگر مسیرها نادیده گرفته شود [۹]، بنابراین انتگرال گیری از معادله (۱۱) برای جرم  $m_{o,hs}$  رابطه زیر را نتیجه می‌دهد:

$$\left( A_a \langle \sigma v \rangle_{dt} - A_{br} \frac{1}{\epsilon_{hs}} \right) R \geq \frac{2}{3} \epsilon_{hs}^{\frac{3}{2}}. \quad (13)$$

البته در این انتگرال گیری فرض کردہ‌ایم که انبساط سطح آزاد با سرعت صوت  $\frac{1}{\epsilon_{hs}}$  رخ می‌دهد. به علاوه با این حساب که به منظور احتراق، ذرات آلفا باید یکنواختی دمای ناحیه داغ را حفظ کند، از اتلاف انرژی به واسطه رسانش گرمایی از جرم  $m_{o,hs}$  به سمت ناحیه ۲ صرف نظر نموده‌ایم.

معادله (۱۳) بیان کننده یک شرط لازم برای ایجاد احتراق در ناحیه داغ است. شرط لازم دیگر برای احتراق با انتگرال گیری از معادله (۱۱) برای جرم موجود در ناحیه ۲ به

$$\frac{S_{pb}}{\rho_*} \cong \frac{5}{2} v_{af}^{\frac{5}{2}} x^{\frac{2}{3}} \varepsilon_{hs}^{\frac{2}{3}} \left( 1 + \frac{0.25}{x} \frac{v_{af}^{\frac{1}{2}}}{\varepsilon_{hs}^{\frac{1}{2}}} \right) + \frac{P_{br}}{\rho_* \pi r_{pb}^{\frac{1}{2}}} \quad (25)$$

که برای جمله آخر این رابطه داریم:

$$\frac{P_{br}}{\rho_* \pi r_{pb}^{\frac{1}{2}}} \cong 0.53 A_{br} R x \frac{v_{af}^{\frac{1}{2}}}{\varepsilon_{hs}^{\frac{1}{2}}} \quad (26)$$

همچنین برای انرژی ناحیه داغ می‌توان نوشت:

$$E_{hs} = m_{hs} \varepsilon_{hs}, \quad (27)$$

که با استفاده از رابطه اخیر و روابط (۱)، (۲) و (۲۰) برای این انرژی خواهیم داشت:

$$E_{hs} = \pi \frac{R^{\frac{3}{2}}}{\rho_*} \varepsilon_{hs} x^{\frac{3}{2}}, \quad (28)$$

به طوری که می‌توان گفت انرژی باریکه پروتونی  $E_{pb}$  لازم برای احتراق باید با  $E_{hs}$  برابر باشد.

اکنون برای سهولت محاسبات بعدی، چگالی بدون بعد  $\rho_*$  و سرعت ویژه  $v_{af}$  را به صورت زیر معرفی می‌کنیم:

$$\rho_* = \frac{\rho_*}{100 \text{ g/cm}^3}, \quad (29)$$

$$v_{af} = \left( \frac{S_{pb}}{\rho_*} \right)^{\frac{1}{2}}. \quad (30)$$

در شکل ۲ نمودار حاصلضرب  $E_{pb} = \rho_*^{\frac{1}{2}} E_{hs}$  به صورت تابعی از سرعت ویژه  $v_{af}$  برای مقادیر مختلف برد پروتونی رسم شده است. همان طوری که در این شکل ملاحظه می‌کنیم برای یک برد معین، مقدار ویژه  $S_{pb}/\rho_*$  برای انرژی کمینه باریکه پروتونی وجود دارد. به طور مثال، برای برد پروتونی

$R = 0.6 \text{ g/cm}^3$  نتایج به شرح زیر است:

$$E_{pb,min} \cong 155 \left( \frac{100 \text{ g/cm}^3}{\rho_*} \right)^{\frac{1}{2}} \text{ kJ}, \quad (31)$$

$$S_{pb,min} \cong 2/5 \times 10^{19} \left( \frac{\rho_*}{100 \text{ g/cm}^3} \right)^{\frac{1}{2}} \text{ W/cm}^2. \quad (32)$$

مقادیر به دست آمده از این روابط، برای چگالی نوعی  $\rho_* = 400 \text{ g/cm}^3$  به ترتیب برابر  $9/69 \text{ kJ}$  و  $10^5 \text{ W/cm}^2$  می‌باشد، که این مقادیر، با شبیه سازیهای مراجع [۷] و [۸] کاملاً

با جمع کردن معادلات (۱۳) و (۱۴) و جایگذاری نتیجه در معادله (۱۰) می‌توانیم رابطه زیر را به دست آوریم:

$$P_{pb} \geq A_{br} \varepsilon_{hs}^{\frac{1}{2}} \rho_{hs} m_{hs} + p_{hs} v_{af}^{\frac{1}{2}} \pi r_{hs}^{\frac{1}{2}} \left[ 1 + \frac{\varepsilon_{hs}^{\frac{1}{2}}}{4 v_{af}^{\frac{1}{2}}} \left( \frac{r_{pb}}{r_{hs}} \right)^2 \right] \quad (19)$$

برای محاسبات بعدی مناسب است که پارامتر زیر را معرفی کنیم:

$$x^{\frac{3}{2}} = \frac{m_{hs}}{m_{hs}}, \quad (20)$$

می‌دانیم که پارامتر محصورشدگی ناحیه داغ به صورت زیر تعریف می‌شود:

$$H = \rho_{hs} r_{hs}. \quad (21)$$

با استفاده از روابط (۱)، (۲)، (۷)، (۱۵)، (۲۰) و (۲۱) برای پارامتر محصورشدگی می‌توانیم رابطه زیر را به دست آوریم:

$$H = \left( \frac{\rho_{hs}}{\rho_*} \right)^{\frac{1}{2}} R x \cong 1/42 \frac{v_{af}^{\frac{1}{2}}}{\varepsilon_{hs}^{\frac{1}{2}}} R x. \quad (22)$$

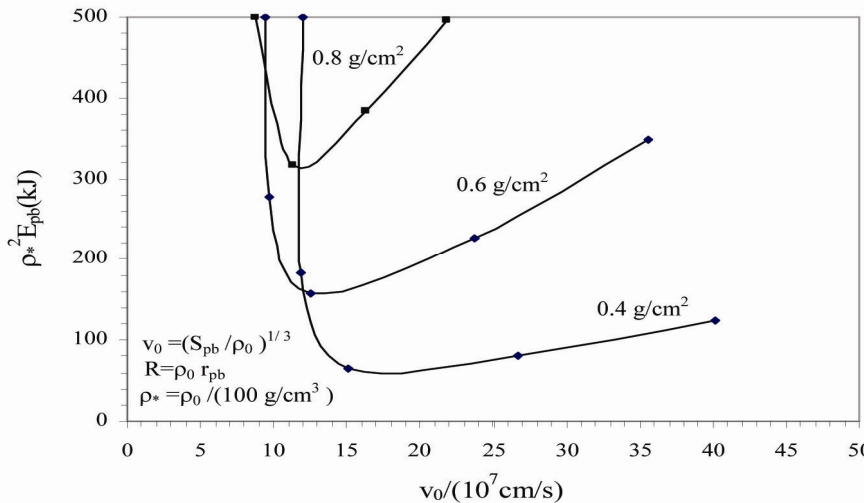
همچنین به کمک روابط (۵)، (۱۸)، (۲۱) و (۲۲) سرعت انبساط جبهه قطع عبارت خواهد بود از:

$$v_{af} \cong 1/38 \left( \frac{\chi}{R x} \right)^{\frac{1}{7}} \varepsilon_{hs}^{\frac{19}{14}}. \quad (23)$$

با وارد کردن معادلات (۱۸) و (۲۳) در معادله (۱۴) یک عبارت ضمنی برای دمای ناحیه داغ بر حسب پارامتر  $x$  را به صورت زیر (برای یک برد معین  $R$ ) به دست می‌آوریم:

$$\frac{x^{\frac{15}{14}} - 1}{x^{\frac{15}{14}}} \cong \frac{1/7}{\chi^{\frac{1}{7}} R^{\frac{1}{7}}} \frac{\varepsilon_{hs}^{\frac{19}{14}}}{\left( A_a \langle \sigma v \rangle_{dt} - A_{br} \varepsilon_{hs}^{\frac{1}{2}} \right)}. \quad (24)$$

بدین ترتیب شدت باریکه پروتونی لازم برای ایجاد احتراق،  $S_{pb} = \frac{P_{pb}}{\pi r_{pb}^{\frac{1}{2}}}$  بر حسب پارامتر  $x$  با توجه به معادله (۱۹) از رابطه زیر تعیین می‌شود:



شکل ۲. نمودار حاصلضرب انرژی باریکه پروتونی  $E_{pb}$  لازم برای احتراق در  $P_{*}^2$  به صورت تابعی از سرعت ویژه  $v_0 = (S_{pb} / \rho_0)^{1/3}$  برای مقادیر مختلف برد پروتونی.

در اثر انفجار داخلی تا چگالی بالای  $\rho_0$ ، از پیش فشرده شده و متعاقب آن باریکه پروتونی، مستقیماً یک حجم استوانه‌ای به شعاع  $r_{pb}$  (ناحیه ۱ در شکل) از آن را گرم کرده است. اگر فرآیند گرم شدن سوخت به صورت فوق صوتی پیش روید، در این صورت بدون اینکه ذره‌ای از ناحیه ۱ کنده شود و تغییری در چگالی  $\rho_0$  روی دهد، گرما از طریق رسانش به سوخت سرد حوالی آن شارش می‌یابد. این شارش گرما به تدریج و مرحله به مرحله پیش می‌رود به طوری که موج گرمایی حاصل با سرعت  $v_{hw}$  بیش از سرعت صوت منتشر می‌شود و موقعیت موج گرمایی در هر لحظه شعاع ناحیه داغ را مشخص می‌کند. لازم به ذکر است که در این شیوه پیشروع فرآیند گرم شدن سوخت، دیگر خبری از موج ضربه‌ای و جبهه قطع نخواهد بود.

با توجه به این مطالب و همچنین به دلیل اتفاق انرژی در ناحیه داغ ناشی از پدیده تابش ترمزی، دمای این ناحیه کاهش می‌یابد. شرط دستیابی به احتراق در این ناحیه این است که چگالی توان  $P_a$  مربوط به ذرات آلفای تولید شده ناشی از واکنشهای همجوشی D-T، حداقل، انرژی از دست رفته ناحیه داغ را جبران نماید. بنابراین باید داشته باشیم:

$$P_a \geq P_{br} + p_{hs} \nabla \cdot \mathbf{v}_{hw} + \nabla \cdot \mathbf{q}_T, \quad (35)$$

در توافق است. به طوری که برای چگالی مذکور، مطابق شبیه سازی دو بعدی به عمل آمده با کد DUEDE در مرجع [۷]، انرژی و شدت کمینه باریکه پروتونی لازم برای احتراق به ترتیب برابر  $10/77 \text{ kJ}$  و  $8/4 \times 10^{19} \text{ W/cm}^2$  بوده و مطابق شبیه‌سازی دو بعدی به عمل آمده در مرجع [۸]، انرژی کمینه لازم برابر  $10 \text{ kJ}$  به دست آمده است. همچنین از شکل ۲ مشخص است که کمینه انرژی باریکه پروتونی لازم برای احتراق،  $E_{pb,min}$ ، با افزایش برد پروتونی، افزایش می‌یابد. با رسم نمودارهای حاصل ضرب  $E_{pb,min}$  و همچنین  $S_{pb,min} / \rho_*$  به صورت تابعی از برد پروتونی، در شکلهای ۳ و ۴، انرژی  $E_{pb,min}$  و شدت  $S_{pb,min}$  را به صورت زیر مقیاسبندی نموده‌ایم:

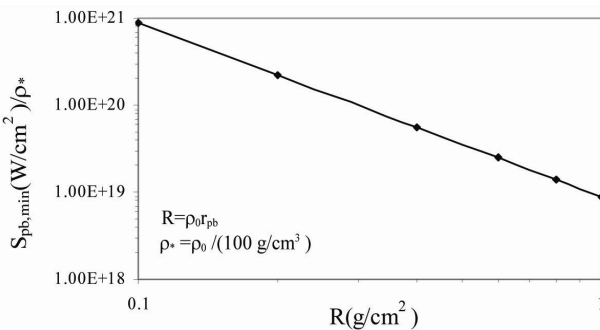
$$E_{pb,min} \approx 4/3 \times 10^3 \left( \frac{R}{\rho_*} \right)^2 \text{ MJ}, \quad (33)$$

$$S_{pb,min} \approx 9 \times 10^{14} \left( \frac{\rho_*}{R^2} \right) \text{ W/cm}^2, \quad (34)$$

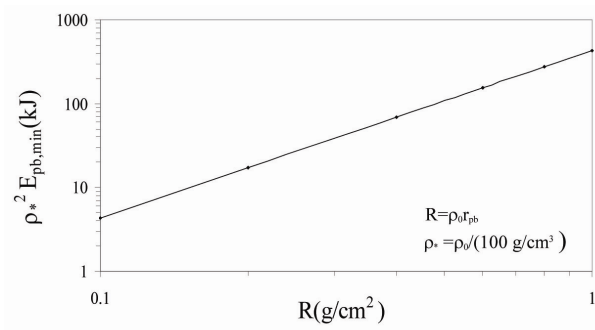
که در این روابط  $\rho_*$  و  $R$  به ترتیب بر حسب  $\text{g/cm}^3$  و  $\text{g/cm}^2$  می‌باشند.

### ۳.۲. مدل فوق صوتی

مطابق شکل ۱ در نظر می‌گیریم که سوخت همجوشی D-T



شکل ۴. نمودار حاصل تقسیم شدت کمینه باریکه پروتونی  $S_{pb,min}$  بر  $\rho_*$  به صورت تابعی از برد پروتونی بنا بر مدل فروصوتی.



شکل ۳. نمودار حاصل ضرب انرژی کمینه باریکه پروتونی  $E_{pb,min}$  در  $\rho_*$  به صورت تابعی از برد پروتونی بنا بر مدل فروصوتی.

$$l_T = \frac{\chi \varepsilon_{hs}}{p_{hs} v_{hw}} \approx \frac{r_{hs}}{2}, \quad (38)$$

در این رابطه  $(t)$   $\varepsilon_{hs}$  انرژی داخلی ویژه لحظه‌ای،  $r_{hs}$  شعاع لحظه‌ای ناحیه داغ یا به عبارت دیگر موقعیت لحظه‌ای موج گرمایی و  $v_{hw}(t) = \frac{dr_{hs}}{dt}$  نیز سرعت لحظه‌ای موج گرمایی است.

همان طوری که قبلاً نیز اشاره نمودیم، پارامتر محصورشدگی ناحیه داغ مطابق رابطه زیر است:

$$H = \rho_* r_{hs}. \quad (39)$$

با معرفی پارامتر  $x$  با رابطه زیر:

$$x = \frac{r_{hs}}{r_{pb}}, \quad (40)$$

و با استفاده از رابطه (۱) پارامتر محصورشدگی  $H$  به صورت زیر در می‌آید:

$$H = Rx. \quad (41)$$

با در نظر گرفتن  $r_{hs}$  به عنوان شعاع ناحیه داغ در لحظه احتراق و استفاده از روابط (۳۷)، (۳۸) و (۴۰)، شرط احتراق مطابق رابطه زیر به دست می‌آید:

$$H = Rx \geq \left( \frac{\chi \varepsilon_{hs}}{A_\alpha \langle \sigma v \rangle_{dt} - A_{br} \varepsilon_{hs}} \right)^{\frac{1}{2}}. \quad (42)$$

از طرفی مطابق آنچه گفته شد چون فرآیند گرم شدن سوخت

که در آن پارامترهای  $P_{br}$ ،  $P_\alpha$  و  $q_T$  به ترتیب مطابق روابط (۸)، (۹) و (۱۲) بوده و برای فشار سوخت گرم،  $p_{hs}$  می‌توانیم رابطه زیر را بنویسیم:

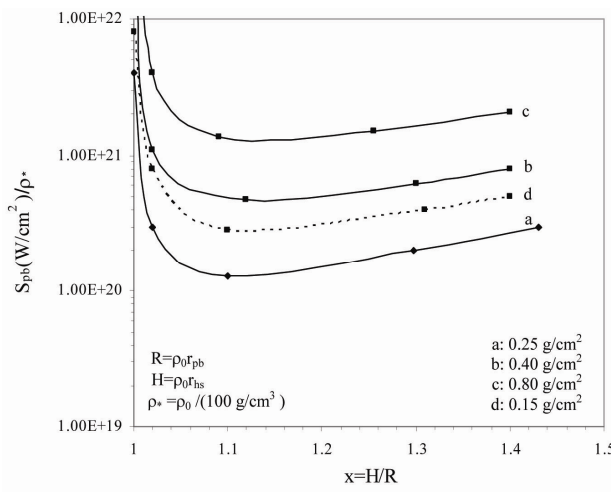
$$p_{hs} = \frac{2}{3} \rho_* \varepsilon_{hs}. \quad (36)$$

لازم به ذکر است که در رابطه (۳۵)،  $p_{hs} \nabla v_{hw}$  عبارت است از کار مکانیکی انجام شده در واحد زمان و در واحد حجم، همچنان که موج گرمایی به سمت خارج از ناحیه ۱ شکل ۱ منتشر می‌شود. اگر ذرات آلفای ایجاد شده از واکنشهای همجوشی D-T، انرژی خود را به طور کامل به سوخت ناحیه داغ بسپارند، در این صورت می‌توانیم یک انتگرال تقریبی از معادله (۳۵) روی حجم ناحیه داغ به شعاع  $r_{hs}$  بگیریم. ضمناً اگرچه می‌دانیم که این رسانش گرمایی است که موج گرمایی را راه می‌اندازد و بنابراین باید آن را مد نظر قرار دهیم، اما می‌توان از آن در بحث توازن انرژی در این سیستم صرف نظر نمود. با این ملاحظات، انتگرال‌گیری از معادله (۳۵) به رابطه زیر منجر می‌گردد:

$$(A_\alpha \langle \sigma v \rangle_{dt} - A_{br} \varepsilon_{hs}) p_* \pi r_{hs}^2 \geq p_{hs} v_{hw} 2\pi r_{hs}^2, \quad (37)$$

که در آن  $\varepsilon_{hs}$  و  $v_{hw}$  به ترتیب انرژی داخلی ویژه سوخت، شعاع ناحیه داغ و سرعت موج گرمایی در لحظه احتراق می‌باشند.

در اینجا نیز شبیه رابطه (۱۸) برای طول ویژه گرادیان  $l_T$  داریم:



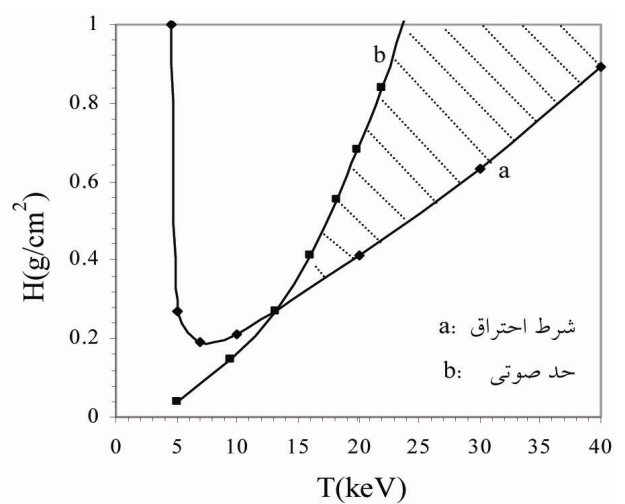
شکل ۶. نمودار حاصل تقسیم شدت باریکه  $S_{pb}$  بر  $\rho_*$  به صورت تابعی از  $x=H/R$  برای مقادیر مختلف برد پروتونی.

$$\varepsilon_{hs}(t) = \varepsilon_* \left[ \frac{\left( \frac{r_{hs}}{r_{pb}} \right)^{\frac{19}{\gamma}} - 1}{\left( \frac{r_{hs}}{r_{pb}} \right)^{\frac{1}{\gamma}}} \right]^{\frac{1}{19}}, \quad \varepsilon_* = \left( \frac{S_{pb} R}{5\gamma \chi \rho_*} \right)^{\frac{1}{\gamma}} \quad (48)$$

در نتیجه با استفاده از رابطه فوق و رابطه (۴۰) شدت باریکه پروتونی لازم،  $S_{pb}$ ، برای ایجاد احتراق در ناحیه داغ را به صورت زیر به دست می‌آوریم:

$$\frac{S_{pb}}{\rho_*} = \frac{5\gamma}{\gamma} \frac{\chi \varepsilon_{hs}^{\frac{1}{\gamma}}}{R} \frac{x^{\frac{21}{19}}}{x^{\frac{1}{\gamma}} - 1}, \quad (49)$$

که در این رابطه  $\varepsilon_{hs}$ ، مربوط به لحظه احتراق است. در شکل ۶ نمودار شدت باریکه پروتونی لازم برای ایجاد احتراق را به صورت تابعی از پارامتر  $\frac{H}{R} = x$  برای مقادیر مختلف برد پروتونی رسم کردیم، به طوری که این شکل، چگونگی تغییرات کمینه شدت باریکه پروتونی لازم،  $S_{pb,min}$ ، برای ایجاد احتراق را با افزایش برد پروتونی نشان می‌دهد. بدین ترتیب با رسم نمودار  $\frac{S_{pb,min}}{\rho_*}$  به صورت تابعی از برد پروتونی در شکل ۷، شدت  $S_{pb,min}$  را به صورت زیر مقایسه‌نده‌ایم:



شکل ۵. نمودار تغییرات پارامتر محصورشدنگی ناحیه داغ به صورت تابعی از دمای این ناحیه.

به صورت فوق صوت پیش می‌رود و سرعت پیشروی موج گرمایی ناشی از رسانش گرمایی از سرعت صوت  $C_s \equiv \varepsilon_{hs}^{\frac{1}{\gamma}}$  بیشتر است، بنابراین حد صوتی ایجاب می‌کند که:

$$v_{hw} > \varepsilon_{hs}^{\frac{1}{\gamma}}, \quad H < 3\chi \varepsilon_{hs}^{\frac{1}{\gamma}}. \quad (43)$$

در شکل ۵ با استفاده از روابط (۴۲) و (۴۳) ناحیه احتراق مشخص شده است. مطابق این شکل، مقدار کمینه پارامترهای  $T_{hs}$  و  $H$  لازم برای احتراق عبارتند از:

$$T_{hs,min} \approx 12 \text{ keV}, \quad H_{min} \approx 0.27 \text{ g/cm}^3 \quad (44)$$

با استفاده از رابطه (۲۷) و رابطه زیر برای جرم ناحیه داغ:  $m_{hs} = \pi r_{hs}^3 \rho_*$ ,

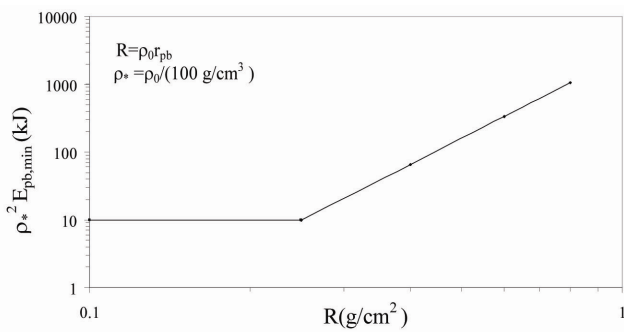
و همچنین رابطه (۳۹)، انرژی داخلی ناحیه داغ را به صورت زیر به دست می‌آوریم:

$$E_{hs} = m_{hs} \varepsilon_{hs} = \frac{\pi H^3 \varepsilon_{hs}}{\rho_*}, \quad (46)$$

که می‌توان گفت انرژی باریکه پروتونی لازم،  $E_{pb}$ ، برای ایجاد احتراق باید با  $E_{hs}$  برابر باشد. بنابراین می‌توانیم رابطه زیر را بنویسیم:

$$E_{pb} = P_{pb} t = S_{pb} \pi r_{pb}^2 t = m_{hs}(t) \varepsilon_{hs}(t). \quad (47)$$

بدین ترتیب بر اساس روابط (۳۸)، (۴۵) و (۴۷) خواهیم داشت:



شکل ۸. نمودار حاصل ضرب انرژی کمینه باریکه پروتونی،  $E_{pb,min}^2$  در  $\rho^*$  به صورت تابعی از برد پروتونی بنا بر مدل فوق صوتی.

صوتی امکان پذیر است. همچنان که ملاحظه می‌شود، هرچه برد پروتونی از مقدار  $25 \text{ g/cm}^3$  کمتر شود شدت  $S_{pb}$  باید بیشتر گردد تا انرژی لازم و کافی  $E_{pb,min}$  را تضمین نماید. برای برد پروتونی  $R > 25 \text{ g/cm}^3$  دستیابی به احتراق بر طبق هر دو امکان پذیر است، اما مدل فروصوتی مناسب‌تر به نظر می‌رسد، به این دلیل که همچنان که از نمودارها مشخص است، برای این مقادیر از برد پروتونی، به منظور ایجاد احتراق، بر طبق مدل فوق صوتی، هم انرژی و هم شدت باریکه زیاد لازم است، در حالی که بر طبق مدل فروصوتی فقط انرژی باریکه زیاد لازم است. به هر حال می‌توان گفت که برد پروتونی بهینه برای راه انداز احتراق سریع تقریباً برابر  $25 \text{ g/cm}^3$  است.

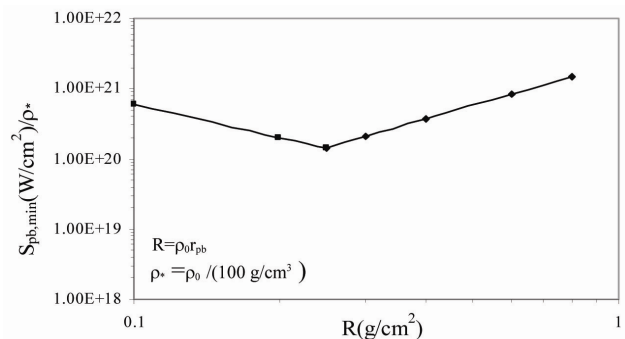
اکنون با اطلاعات فوق می‌توانیم محاسبه مدت زمان پالس پروتونی را انجام دهیم. با توجه به اینکه انرژی باریکه پروتونی لازم برای ایجاد احتراق باید توسط یک پالس پروتونی به پلاسمای سوخت D-T سپرده شود، باید مدت پالس پروتونی  $t_p$  از مدت زمان محصورسازی  $t_c$  کمتر باشد. یعنی:

$$t_p \leq t_c \quad (52)$$

برای مدت زمان محصورسازی  $t_c$  داریم:

$$t_c = \frac{r_{hs}}{C_s}, \quad (53)$$

که در آن  $C_s$  سرعت صوت در دمای ناحیه داغ  $T_{hs}$  است، به طوری که برای یک پلاسمای D-T داریم:



شکل ۷. نمودار حاصل تقسیم شدت کمینه باریکه پروتونی  $S_{pb,min}$  بر  $\rho^*$  به صورت تابعی از برد پروتونی بنابر مدل فوق صوتی.

$$S_{pb,min} \cong \begin{cases} 2/3 \times 10^{19} (\rho_0 R)^2 \text{ W/cm}^2 & R \geq 25 \text{ g/cm}^3 \\ 6 \times 10^{16} (\rho_0 R)^{-2} \text{ W/cm}^2 & R < 25 \text{ g/cm}^3 \end{cases} \quad (50)$$

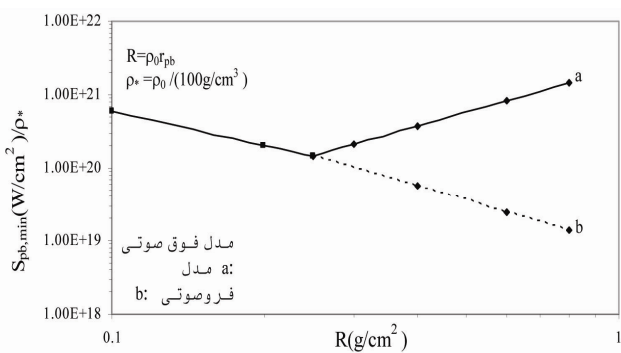
به همین ترتیب نیز با رسم نمودار  $E_{pb,min}^2$  به صورت تابعی از برد پروتونی در شکل ۸، انرژی  $E_{pb,min}$  با رابطه زیر مقیاسبندی می‌شود:

$$E_{pb,min} \cong \begin{cases} 2/5 \times 10^4 \left( \frac{R}{\rho_0} \right)^2 \text{ MJ} & R \geq 25 \text{ g/cm}^3 \\ 10^5 \rho_0^{-2} \text{ kJ} & R \leq 25 \text{ g/cm}^3 \end{cases} \quad (51)$$

#### ۴. برد و مدت زمان بهینه پالس پروتونی برای راه انداز احتراق سریع

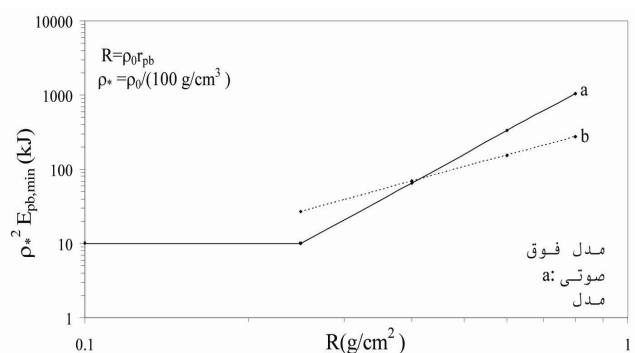
همان طوری که در شکل ۶ ملاحظه می‌نماییم برای مقادیر  $X = 1/1 - 1/15$ ، شدت باریکه پروتونی،  $S_{pb}$ ، کمینه مقدار خود را دارد و چون کمینه شدت و انرژی باریکه پروتونی به حد صوتی مربوط می‌شود، از این رو این مقادیر از  $X$  نیز به حد صوتی مربوط می‌شود و با استفاده از روابط (۴۱) و (۴۴)، برد پروتونی  $R = 25 \text{ g/cm}^3$  مربوط به حد صوتی به دست می‌آید. در شکلهای ۹ و ۱۰ نمودارهای  $\rho^*$  و  $E_{pb,min}$

$\frac{S_{pb,min}}{\rho^*}$  را بر حسب برد پروتونی بر طبق مدل‌های فوق صوتی و فروصوتی رسم کرده‌ایم. مطابق این شکلهای، برای برد پروتونی  $R < 25 \text{ g/cm}^3$  دستیابی به احتراق فقط بر طبق مدل فوق



شکل ۱۰. نمودار حاصل تقسیم شدت کمینه باریکه پروتونی،  $S_{pb,min}$  بر  $\rho_*$  به صورت تابعی از برد پروتونی بنا بر مدل‌های فوق صوتی و فریصوتی.

محصورشدنگی لختی را به دست آوریم. با توجه به اینکه مدت زمان پالس پروتونی به طور ضمنی به برد پروتونی وابسته است، محاسبات و بررسیهای ما نشان می‌دهد که مدت زمان بهینه پالس پروتونی برای راه انداز احتراق سریع برابر  $5/4 \text{ ps}$  است، به طوری که این مدت زمان برای چگالی سوخت از پیش فشرده شده  $400 \text{ g/cm}^3$  برابر  $ps^{-1} \rho_0^{1/4} \times 10^{14}$  است. مدت زمان مذکور برای همین مقدار چگالی، برابر  $ps^{1/4} \times 10^{14} \rho_0^{1/4}$  است. جا دارد خاطر نشان کنیم که بنابر مرجع [۳] مدت زمان مذکور برای چگالی سوخت از پیش فشرده شده  $400 \text{ g/cm}^3$  برابر  $ps^{1/4} \times 10^{14} \rho_0^{1/4}$  است. با توجه به اینکه مدت زمان مذکور برای چگالی سوخت از پیش فشرده شده  $400 \text{ g/cm}^3$  برابر  $ps^{1/4} \times 10^{14} \rho_0^{1/4}$  است، می‌باشد. با توجه به این تفاوت از آنجا ناشی می‌شود که در مرجع مذکور باریکه‌های ذره‌ای پرشدت، در نظر گرفته نشده‌اند، در حالی که در محاسبات و بررسیهای ما در این مقاله، باریکه‌های ذره‌ای (پروتونی) پرشدت و با شدت نسبتاً پایین هر دو لحاظ شده‌اند.



شکل ۹. نمودار حاصلضرب انرژی کمینه باریکه پروتونی،  $E_{pb,min}$  در  $\rho_*$  به صورت تابعی از برد پروتونی بنا بر مدل‌های فوق صوتی و فریصوتی.

$C_s = \frac{1}{T_{hs}} \text{ cm/s}$  (۵۴)

که در این رابطه  $T_{hs}$  بر حسب keV است. با استفاده از روابط (۳۹)، (۵۲)، (۵۳) و (۵۴) مدت زمان بهینه پالس پروتونی برای راه انداز احتراق سریع را به صورت زیر به دست می‌آوریم:

$$t_{p,opt} = \frac{H_{opt}}{\frac{1}{T_{opt}} \rho_0} \text{ s} \quad (55)$$

که در آن  $H_{opt}$ ،  $T_{opt}$  و  $\rho_0$  به ترتیب بر حسب  $\text{g/cm}^3$ ،  $\text{keV}$  و  $\text{g/cm}^3$  می‌باشند. با توجه به اینکه  $H_{opt}$  و  $T_{opt}$  مربوط به حد صوتی می‌باشند، بنابراین روابط (۴۴) و (۵۵) نتیجه زیر را خواهند داد:

$$t_{p,opt} = 2 \times 10^{14} \rho_0^{-1} \text{ ps} \quad (56)$$

## ۵. نتیجه‌گیری

بر اساس مدل‌های فوق صوتی و فریصوتی می‌توانیم برد پروتونی بهینه برای راه انداز احتراق سریع در همچوشی

## مراجع

5. M Temporal and J J Honrubia, *Phys. of Plasmas*, **9** (2002) 3098.
6. S C Wilks, et al., *Phys. Plasmas* **8** (2001) 542.
7. S Atzeni, M L Ciampi, *Nucl. Fusion* **37** (1997) 1665.
8. A Caruso and V A Pais, *Nucl. Fusion* **36** (1996) 745.
1. M Perry and G Morou, *Science* **264** (1994) 917.
2. R A Snavely, et al., *Phys. Rev. Lett.* **85** (2000) 2945.
3. S Atzeni, M Temporal and J J Honrubia, *Nucl. Fusion* **42** (2002) 1.
4. R E Kidder, *Nucl. Fusion* **163** (1976) 405.

12. A R Piriz, *Nucl. Fusion* **36** (1996) 1395.
  13. A R Piriz and M M Sanchez, *Phys. of Plasmas*, **5** (1998) 2721.
  9. J Sanz, A R Piriz and F G Tomasel, *Phys. Fluids B* **4** (1992) 683.
  10. A R Piriz and F G Tomasel, *Phys. Rev. A* **45** (1992) 8787.
۱۱. اصول همجوشی هسته‌ای، دکتر محمد رضا اسکندری، انتشارات دانشگاه شیراز (۱۳۷۴).